

FIG. 1
PRIOR ART

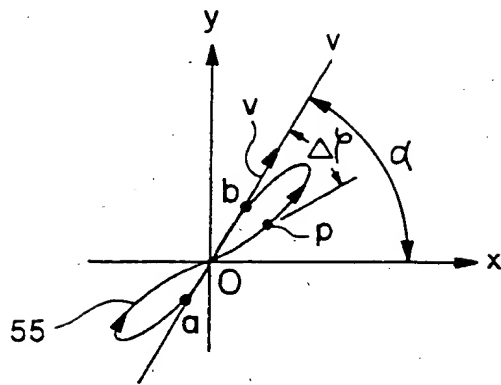


FIG. 2

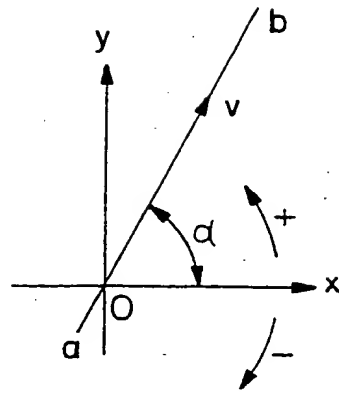


FIG. 3

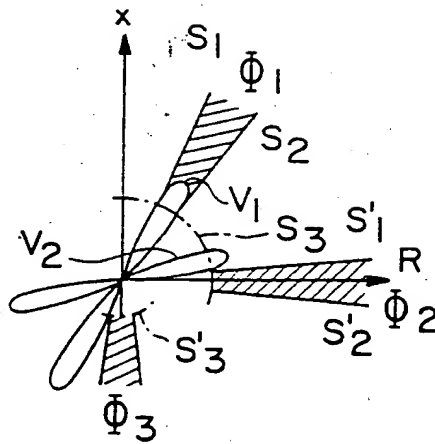
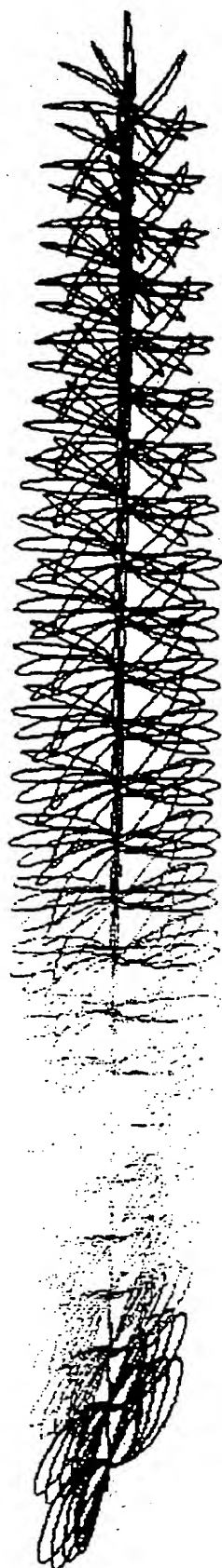


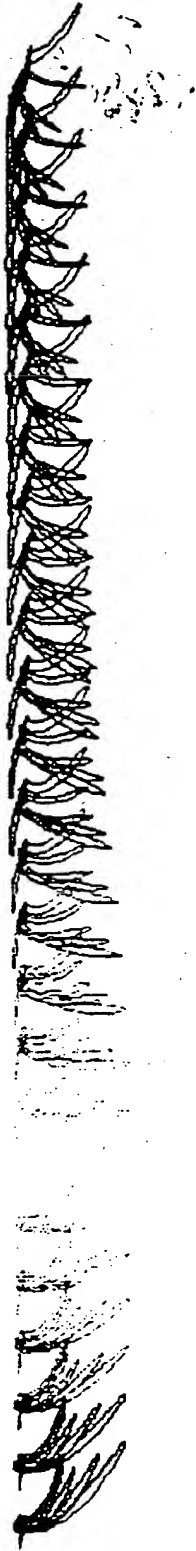
FIG. 4



kHz	11	12	13	14	16	17	19	20	22	24	26	29	31	34	37	40	44	48	52	57	62	68	74	81	88
	a	b	c	d	e	f	g	h	i	j	k	l	m	n	o	p	q	r	s	t	u	v	w	x	y

FIG. 5

kHz 11 12 13 14 16 17 19 20 22 24 26 29 31 34 37 40 44 48 52 57 62 68 74 81 88



a b c d e f g h i j k l m n o p q r s t u v w x y

FIG. 6

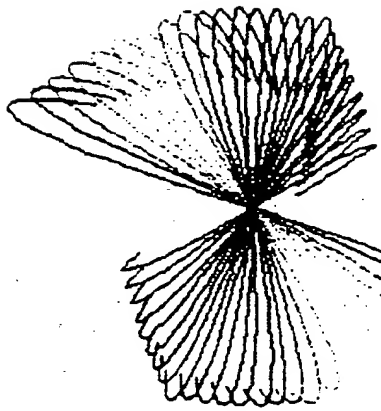


FIG. 7a

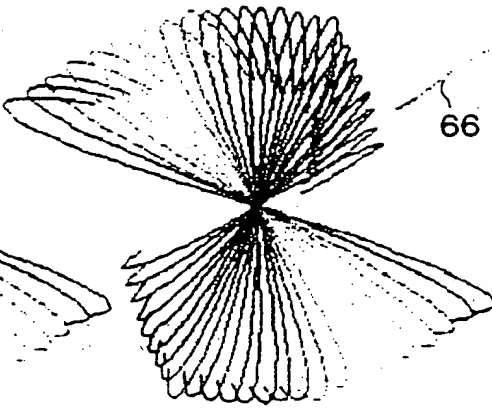


FIG. 7b

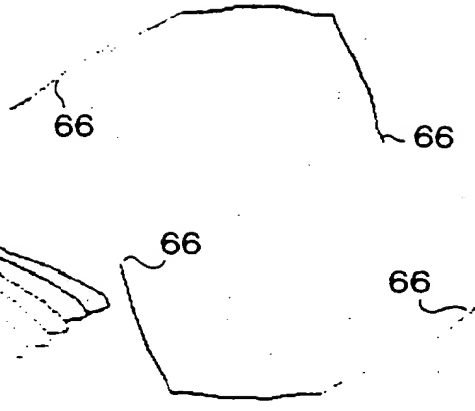


FIG. 7c

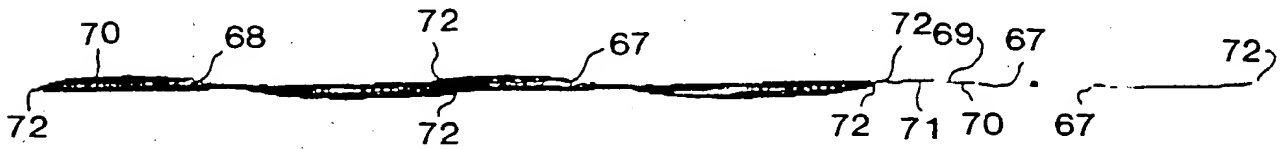


FIG. 8a

FIG. 8b

FIG. 8c

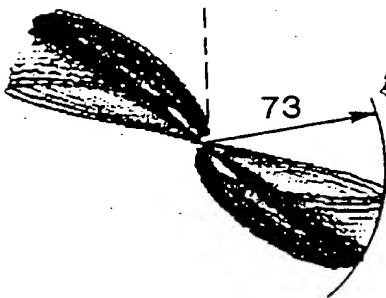


FIG. 9a

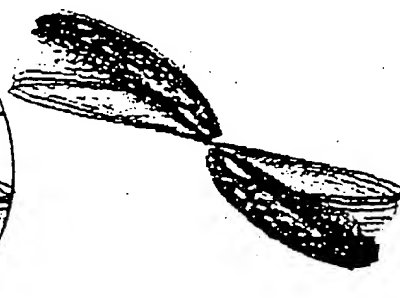


FIG. 9b

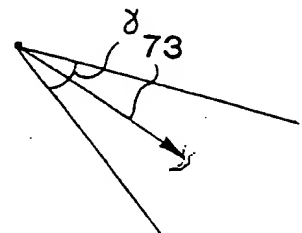


FIG. 9c



FIG. 10a



FIG. 10b



FIG. 10c



FIG. 11a

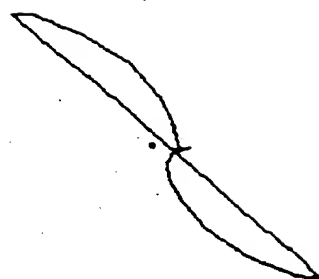


FIG. 11b



FIG. 11c



FIG. 12a

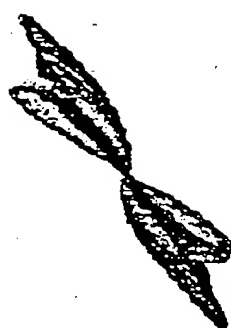


FIG. 12b

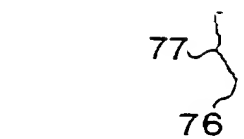
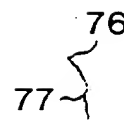


FIG. 12c

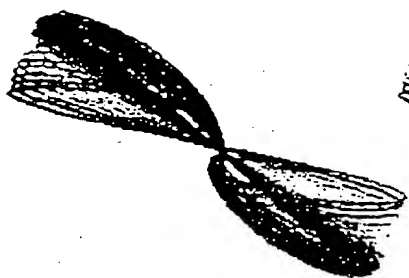


FIG. 13a



FIG. 13b

FIG. 13c

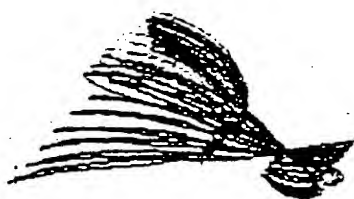


FIG. 14a



FIG. 14b



FIG. 14c

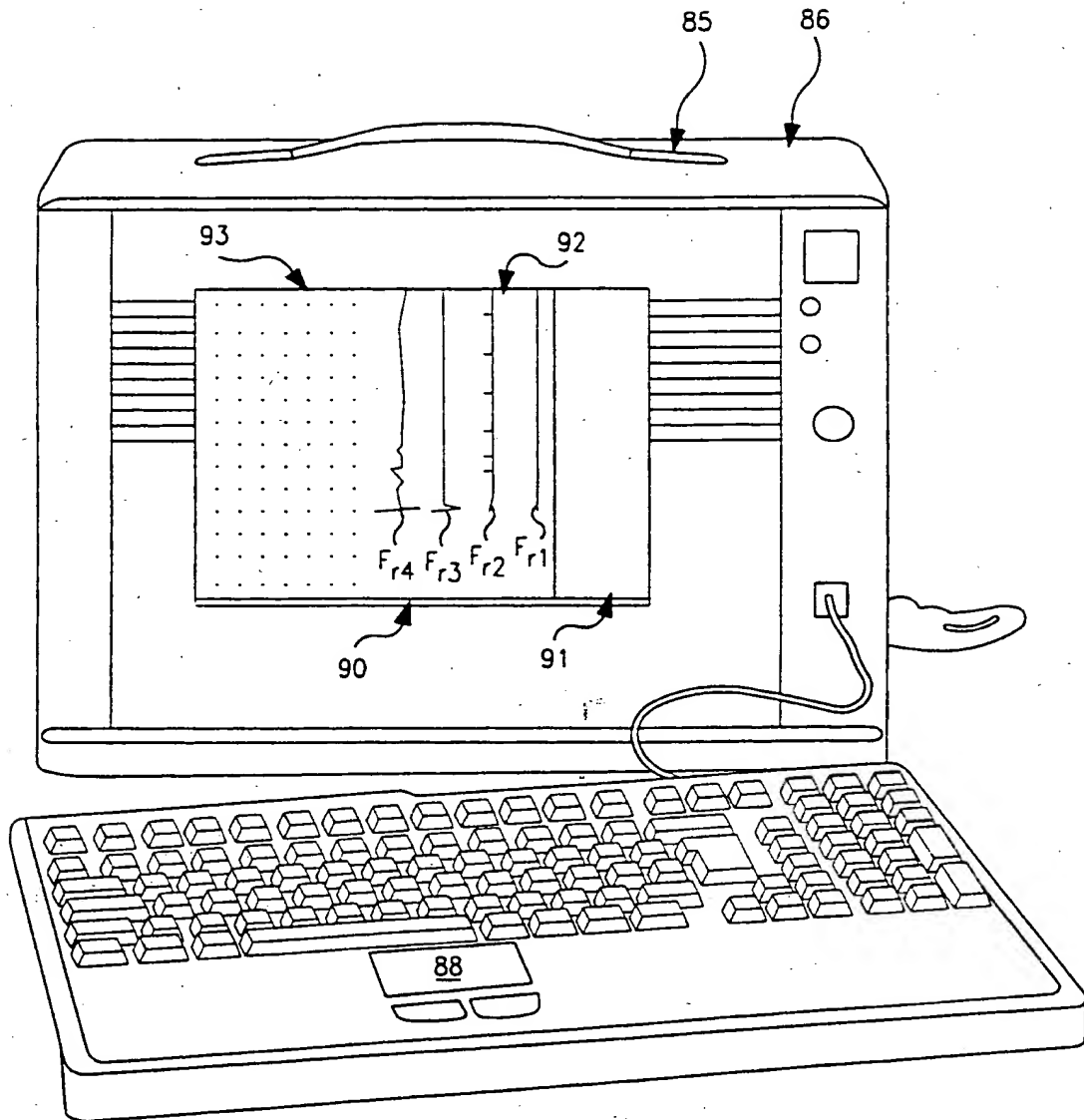
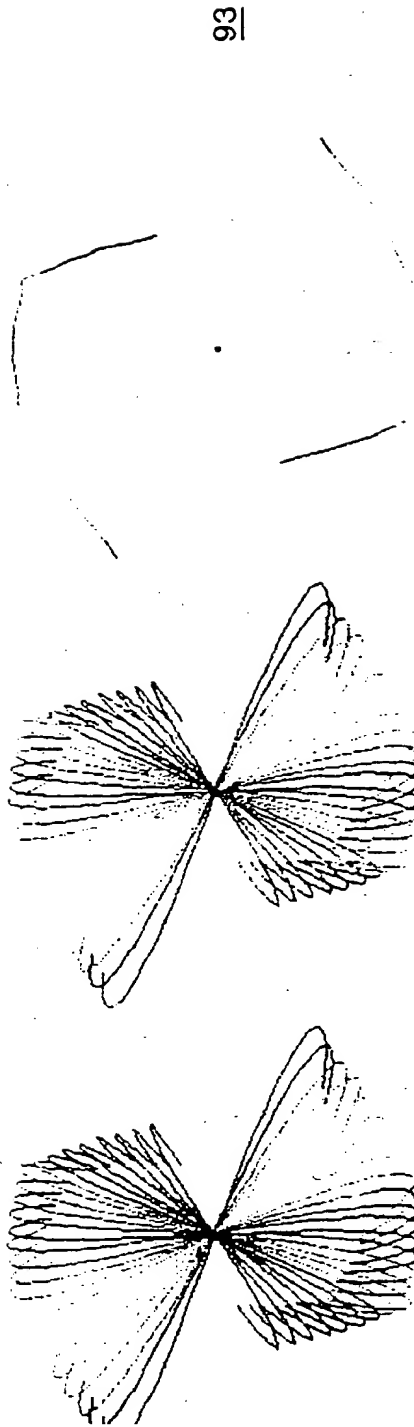
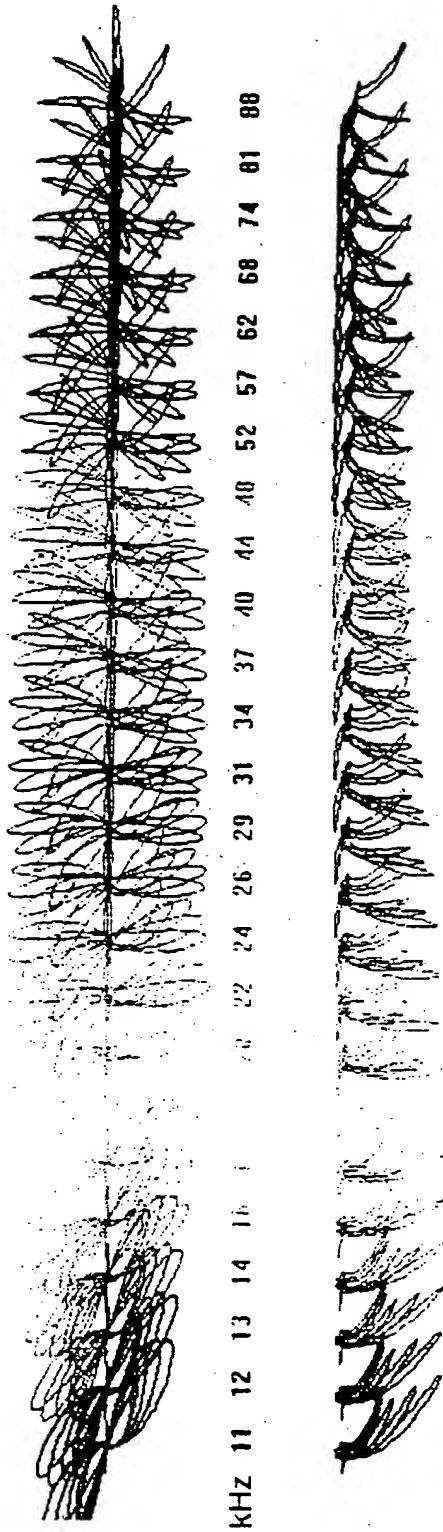


FIG. 15a



44 kHz	Mag	Angle
Range	447	111
Range%	-235	130
Slope	-53	117

FIG. 15b

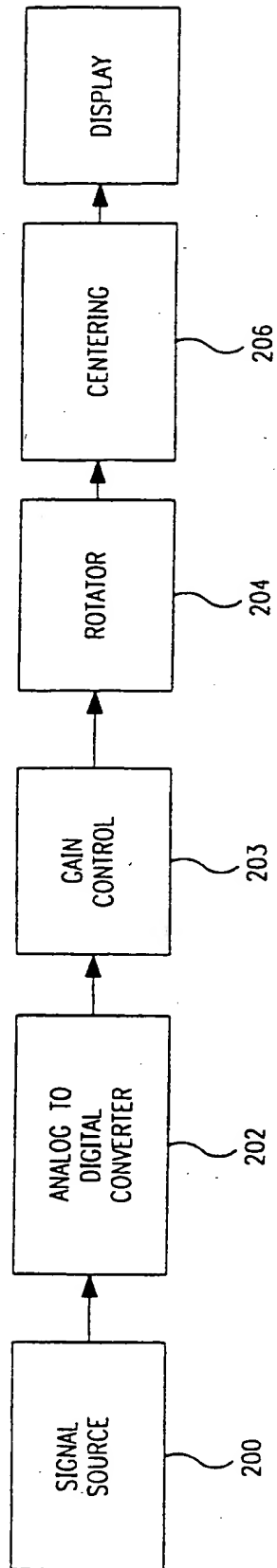


FIG. 16

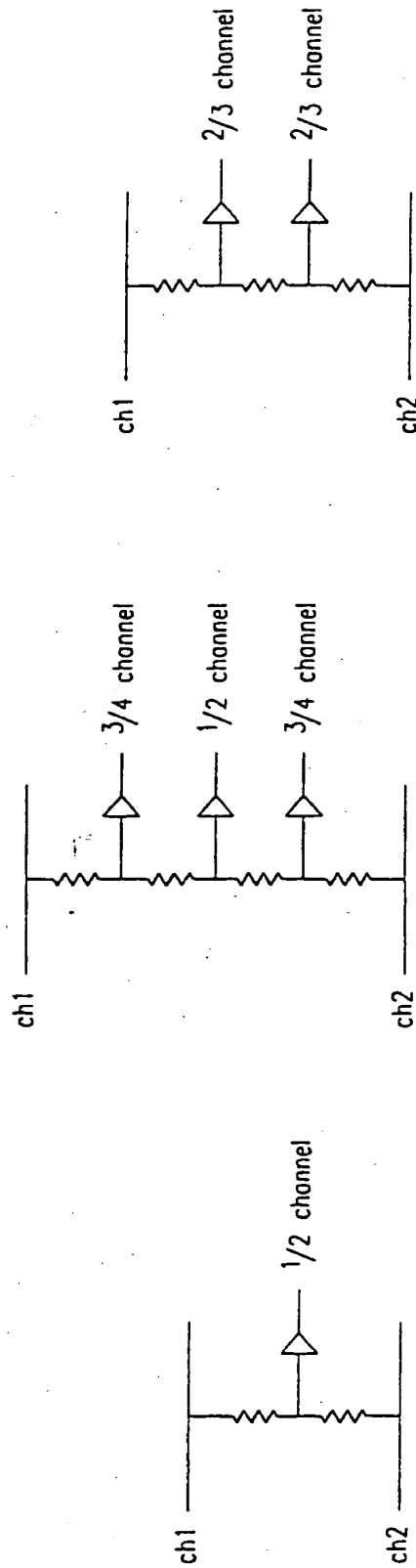


FIG. 17a

FIG. 17b

FIG. 17c

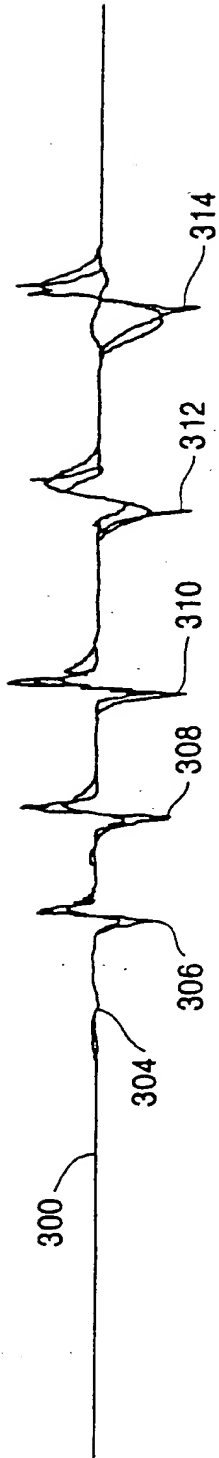


FIG. 18a

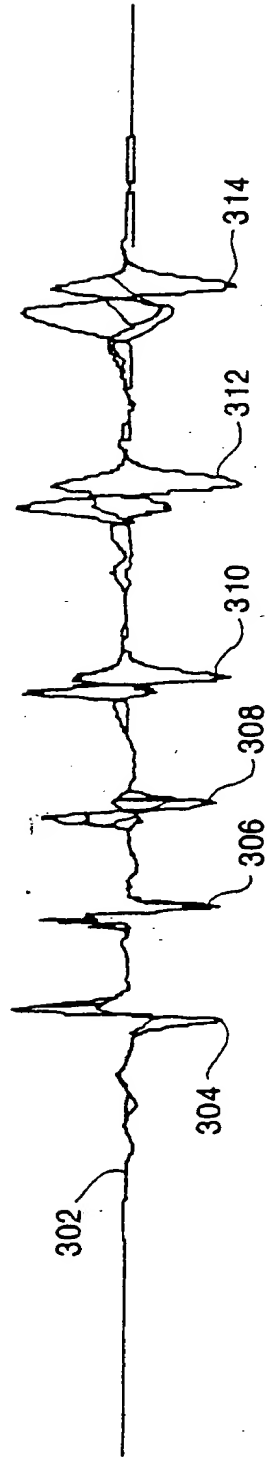


FIG. 18b